

---

## Project 2 Δορυφορικών Επικοινωνιών

---

Σκοπός είναι να εφαρμόσετε τον αλγόριθμο Viterbi, με τον οποίο ασχοληθήκατε στο προηγούμενο project, στην αποκωδικοποίηση συνελικτικού κώδικα. Ο τελευταίος θα χρησιμοποιηθεί για την διόρθωση σφαλμάτων (forward error correction - FEC) κατά την μετάδοση ψηφιακής πληροφορίας (bits) μέσα από κανάλι BSC (binary symmetric channel). Στόχος είναι να καταλάβετε σε βάθος μια απλή εφαρμογή FEC, καθώς αποτελεί συστατικό στοιχείο οποιασδήποτε δορυφορικής ζεύξης. Η παράδοση του σχετικού κώδικα και της αναφοράς θα γίνει μέσω courses. Επιτρέπεται η συνεργασία, αρκεί να αναγραφεί στην αναφορά. Ωστόσο, ο κώδικας και η αναφορά πρέπει να γίνουν ατομικά.

### Εισαγωγή

Έστω bits πληροφορίας  $m_1, m_2, \dots, m_N$ ,  $m_i \in \{0, 1\}$ , τα οποία αντιστοιχούν με κατάλληλη FEC κωδικοποίηση, σε μία νέα σειρά από bits  $b_1, b_2, \dots, b_{2N-1}$ ,  $b_i \in \{0, 1\}$ . Συνεπώς, η κωδικοποίηση εισάγει επιπλέον bits και για κάθε  $N$  bits πληροφορίας απαιτούνται  $2N - 1$  bits, δηλ. ο ρυθμός της κωδικοποίησης είναι  $\rho \triangleq N/(2N - 1) \stackrel{\text{large } N}{\approx} 1/2$ .

Μπορούν να υπάρξει FEC με διαφορετικό ρυθμό  $\rho$ , ωστόσο εδώ θα εστιάσουμε σε συνελικτικούς κώδικες (convolutional codes) με  $\rho = 1/2$ . Οι τελευταίοι χρησιμοποιήθηκαν στις διαστημικές αποστολές Voyager I (Άρης, Δίας και Κρόνος) και II (Ουρανός) [1], ενώ χρησιμοποιούνται ακόμη και σήμερα, π.χ. στον Αυστραλιανό μικροδορυφόρο (cubeSat) AU03 i-Inspire II (NORAD ID: 42731) [2], με τον οποίο θα ασχοληθούμε στο επόμενο project. Οι συνελικτικοί κώδικες χρησιμοποιούνται σε αλυσιδωτούς κώδικες (concatenation codes), όπου η κωδικοποιημένη λέξη της εξόδου ενός (εσωτερικού) κωδικοποιητή χρησιμοποιείται ως είσοδος σε νέο (εξωτερικό) κωδικοποιητή. Τέτοια δομή χρησιμοποιήθηκε στο Voyager II, με εξωτερικό κώδικα έναν Reed Solomon και εσωτερικό, έναν συνελικτικό.<sup>1</sup>

## 1 Κωδικοποίηση

Θα εστιάσουμε σε μία απλή μορφή συνελικτικού κώδικα με *μήκος εξαναγκασμού* (constraint length)  $L$  ίσο με  $L = 2$  και ρυθμό  $1/2$ , ο οποίος περιγράφεται από τις παρακάτω εξισώσεις:

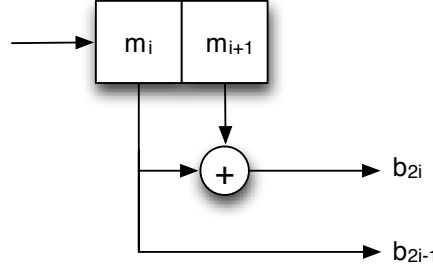
$$b_{2i-1} = m_i, \quad (1)$$

$$b_{2i} = m_i \oplus m_{i+1}, \quad (2)$$

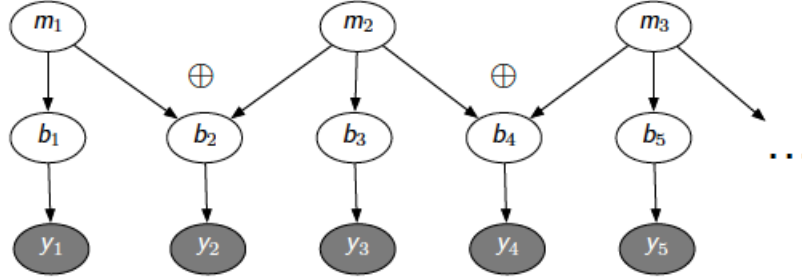
όπου  $\oplus$  συμβολίζει xor (δηλ. modulo 2 addition) και  $i = 1, 2, \dots, N$ . Προσέξτε ότι η σειρά των  $N$  data bits μετατρέπεται σε μια σειρά  $2N - 1$  κωδικοποιημένων bits, της οποίας τα περιττά bits είναι αυτούσια τα bits πληροφορίας, ενώ τα άρτια προκύπτουν ως xor διαδοχικών data bits.

---

<sup>1</sup>Σημειώνεται πως οι αλυσιδωτοί κώδικες είναι η βάση των turbo κώδικων, ενώ η δομή του Voyager 2 χρησιμοποιείται και στον AU03.



Σχήμα 1: Σχηματική αναπαράσταση συνελικτικής κωδικοποίησης μήκους εξαναγκασμού  $L = 2$ .



Σχήμα 2: Κωδικοποίηση με μία μορφή συνελικτικού κώδικα και στην συνέχεια μεταφορά μέσα από BSC κανάλι (Σχήμα από [3], [4]).

Σχηματικά, η κωδικοποίηση αυτή περιγράφεται στο Σχήμα 1, όπου φαίνονται οι  $L = 2$  θέσεις των data bits. Για τις αποστολές Voyager χρησιμοποιήθηκε μήκος εξαναγκασμού  $L = 7$ .

## 2 Μεταφορά σε κανάλι BSC

Στην συνέχεια τα κωδικοποιημένα bits  $b_1, b_2, \dots, b_{2N-1}$  “περνούν” μέσα από ένα κανάλι BSC, το οποίο αλλάζει το κάθε bit (δηλ. το κάνει flip, μετατρέποντας το 1 σε 0 και το 0 σε 1), με πιθανότητα  $\epsilon \in (0, 1/2)$  ή ισοδύναμα, δεν το μεταβάλλει, με πιθανότητα  $1 - \epsilon$ . Η έξοδος του καναλιού αυτού συμβολίζεται ως  $y_i$ , για είσοδο καναλιού το κωδικοποιημένο bit  $b_i$ , και  $i = 1, 2, \dots, 2N - 1$ . Προφανώς, ισχύει:

$$\Pr(y_i = 1|b_i = 0) = \Pr(y_i = 0|b_i = 1) = \epsilon, \quad (3)$$

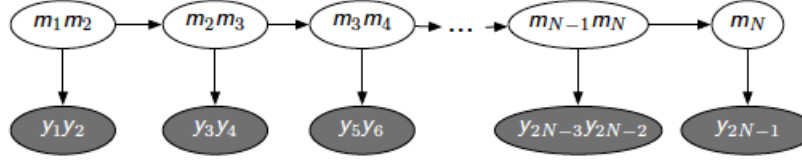
$$\Pr(y_i = 1|b_i = 1) = \Pr(y_i = 0|b_i = 0) = 1 - \epsilon, \quad (4)$$

και η συμμετρία στις παραπάνω πιθανότητες δικαιολογεί το όνομα του καναλιού (binary symmetric channel), για το οποίο γνωρίζουμε πως η χωρητικότητα δίνεται από την παρακάτω σχέση:

$$C_{\text{BSC}} = 1 - H(\epsilon), \quad (5)$$

όπου  $H(\epsilon)$  η εντοπία μιας δυαδικής πηγής πληροφορίας:  $H(\epsilon) = -\epsilon \log_2(\epsilon) - (1 - \epsilon) \log_2(1 - \epsilon)$ .

Η διαδικασία κωδικοποίησης του συνελικτικού κώδικα και η μεταφορά μέσω του καναλιού BSC φαίνεται στο Σχήμα 2.



Σχήμα 3: Απλοποίηση της παραπάνω κωδικοποίησης και μεταφοράς σε ένα ισοδύναμο HMM (Σχήμα από [3], [4]).

Από θεωρία πιθανοτικών γραφικών μοντέλων (probabilistic graphical models), η διαδικασία αυτή μπορεί να απλοποιηθεί στο hidden Markov model (HMM) του Σχήματος 3. Παρατηρήστε στο Σχήμα 3 ότι διαδοχικές κρυμμένες καταστάσεις έχουν υποχρεωτικά κοινό bit.

Από την παρατήρηση των  $y_1, y_2, \dots, y_{2N-1}$ , ο δέκτης πρέπει να εκτιμήσει την (κρυμμένη) ακολουθία  $m_1, m_2, \dots, m_N$ .

### 3 Αποκωδικοποίηση

Η αποκωδικοποίηση έχει ως στόχο την επίλυση του παρακάτω προβλήματος μέγιστης πιθανοφάνειας (maximum likelihood - ML):

$$m_1^*, m_2^*, \dots, m_N^* = \arg \max_{m_1, m_2, \dots, m_N} \Pr \left( y_1, y_2, \dots, y_{2N-1} \middle| m_1, m_2, \dots, m_N \right) \quad (6)$$

Με βάση τα χαρακτηριστικά του προβλήματος και το HMM του Σχήματος 3, αποδεικνύεται ότι:

$$\Pr \left( y_1, y_2, \dots, y_{2N-1} \middle| m_1, m_2, \dots, m_N \right) \propto \Pr \left( y_{2N-1} \middle| m_N \right) \prod_{i=1}^{N-1} \Pr \left( y_{2i-1}, y_{2i} \middle| m_i, m_{i+1} \right), \quad (7)$$

και επομένως, το παραπάνω πρόβλημα γίνεται ισοδύναμο με:

$$m_1^*, m_2^*, \dots, m_N^* = \arg \max_{m_1, m_2, \dots, m_N} \log_2 \left[ \Pr \left( y_{2N-1} \middle| m_N \right) \right] + \sum_{i=1}^{N-1} \log_2 \left[ \Pr \left( y_{2i-1}, y_{2i} \middle| m_i, m_{i+1} \right) \right], \quad (8)$$

δηλ. ο εκτιμητής ML μετατρέπεται από max-product σε max-sum.

Σχετικά εύκολα (όπως δείξαμε στο μάθημα) μπορεί να αποδειχθούν τα παρακάτω:

$$i = N, \log_2 \left[ \Pr \left( y_{2N-1} = u \middle| m_N = a \right) \right] \propto \mathbb{1}(u == a) \ln \left( \frac{1 - \epsilon}{\epsilon} \right) \triangleq \log \phi_{m_N}(a) \Big|_{y_{2N-1}=u}, \quad (9)$$

$$i = 1, 2, \dots, N - 1, \log_2 \left[ \Pr \left( y_{2i-1} = u, y_{2i} = v \middle| m_i = a, m_{i+1} = b \right) \right] \propto \mathbb{1}(u == a) \ln \left( \frac{1 - \epsilon}{\epsilon} \right) + \mathbb{1}(v == a \oplus b) \ln \left( \frac{1 - \epsilon}{\epsilon} \right) \triangleq \log \phi_{m_i, m_{i+1}}(ab) \Big|_{y_{2i-1}=u, y_{2i}=v}, \quad (10)$$

όπου  $a, b, u, v \in \{0, 1\}$  και  $\mathbf{1}(\cdot)$  είναι η indicator function, η οποία επιστρέφει 1 όταν το όρισμα είναι αληθές, και 0 διαφορετικά. Σημειώνεται πως  $\frac{1-\epsilon}{\epsilon} > 1$  για  $\epsilon \in (0, 1/2)$ . Ορίζουμε το παρακάτω βάρος:

$$w_\epsilon = \ln \left( \frac{1-\epsilon}{\epsilon} \right) > 0, \epsilon \in (0, 1/2). \quad (11)$$

Για παράδειγμα, η Εξ. (10) για  $i = 2$ ,  $y_3 = 0, y_4 = 1, a = 0, b = 1$  δίνει:

$$\log \phi_{m_{2,3}}(ab) = \log \phi_{m_{2,3}}(01) = \mathbf{1}(y_3 == a) w_\epsilon + \mathbf{1}(y_4 == a \oplus b) w_\epsilon = 2w_\epsilon,$$

ενώ για  $y_3 = 0, y_4 = 1, a = 0$  και  $b = 0$ , δίνει :

$$\log \phi_{m_{2,3}}(ab) = \log \phi_{m_{2,3}}(00) = \mathbf{1}(y_3 == a) w_\epsilon + \mathbf{1}(y_4 == a \oplus b) w_\epsilon = w_\epsilon.$$

Συνεπώς, οι Εξ. (9), (10) και οι αντίστοιχες συναρτήσεις  $\log \phi$  “ζυγίζουν” τις κρυμμένες καταστάσεις και ορίζουν το αθροιστικό βάρος της κάθε πιθανής ακολουθίας  $m_1, m_2, \dots, m_N$ , σύμφωνα με όλες τις παρατηρήσεις  $y_1, y_2, \dots, y_{2N-1}$ .

Απλοποιώντας τον συμβολισμό από  $m_i, m_{i+1}$  σε  $m_{i(i+1)}$ , το Σχήμα 4 δείχνει παράδειγμα του διαγράμματος trellis για  $N = 3$  και παρατηρήσεις  $y_1 = 0, y_2 = 0, y_3 = 0, y_4 = 1, y_5 = 0, y_6 = 0, y_7 = 0$ . Παρατηρήστε ότι οι μεταβάσεις μεταξύ συγκεκριμένων τιμών των κρυμμένων καταστάσεων εξασφαλίζουν ότι το κοινό bit μεταξύ διαδοχικών κρυμμένων καταστάσεων έχει την ίδια τιμή, π.χ. η κατάσταση  $m_{12} = 10$  οδηγεί υποχρεωτικά μόνο στις καταστάσεις  $m_{23} = 00$  ή  $m_{23} = 01$ , καθώς μόνο για αυτές τις τιμές της κατάστασης  $m_{23}$  το bit  $m_2$  είναι ίσο με  $m_2 = 0$ .

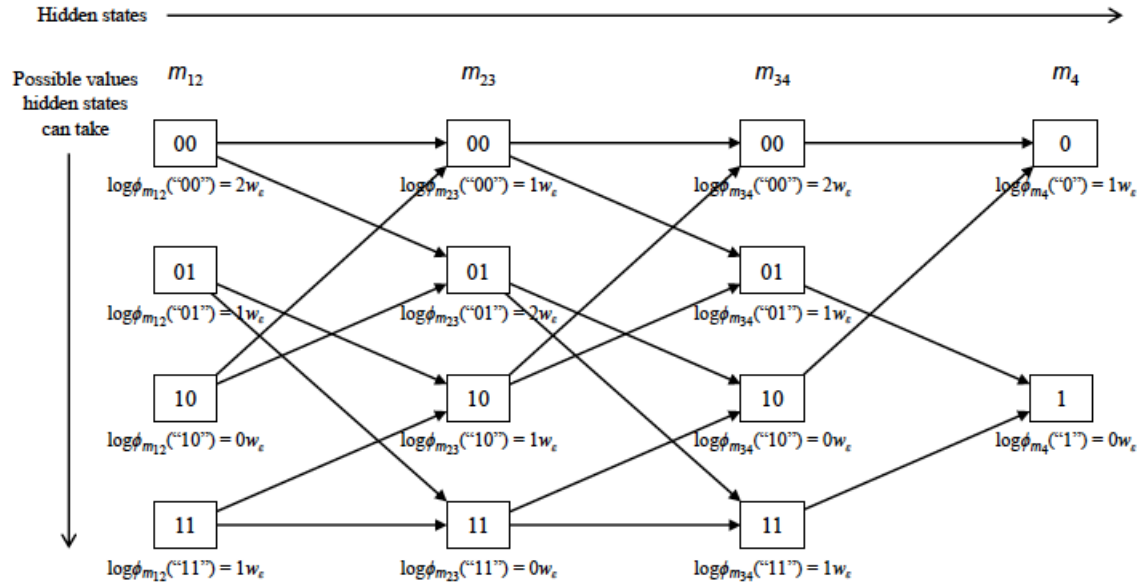
Επίσης, παρατηρήστε ότι κάθε κρυμμένη κατάσταση, έχει συγκεκριμένο βάρος, που ορίζεται από την τιμή της κατάστασης ( $m_{i(i+1)} = ab$ ), τις αντίστοιχες παρατηρήσεις ( $y_{2i-1}y_{2i} = uv$ ) και τις εξισώσεις Εξ. (9), (10). Τα συγκεκριμένα παραδείγματα που υπολογίστηκαν παραπάνω αντιστοιχούν στην κρυμμένη κατάσταση  $m_{23}$ , όταν παίρνει τις τιμές  $ab = 01$  ή  $ab = 00$ , αντίστοιχα.

Υλοποιώντας τον αλγόριθμο Viterbi στο παρακάτω διάγραμμα trellis, μπορεί να βρεθεί ότι το μονοπάτι-ακολουθία  $m_1^* = 0, m_2^* = 0, m_3^* = 0, m_4^* = 0$  μεγιστοποιεί το αθροιστικό βάρος, σε σχέση με όλα τα υπόλοιπα μονοπάτια του διαγράμματος, πετυχαίνοντας συνολικό βάρος  $6 w_\epsilon$ .

## 4 Ερωτήσεις

1. Υποθέστε  $\epsilon = 1/5$  και  $N = 128$ . Προσομοιώστε μια ακολουθία  $y_1, y_2, \dots, y_{255}$ , και υλοποιήστε τον αλγόριθμο Viterbi. Σημειώστε τον αριθμό των bits που εκτιμήθηκαν λανθασμένα. Επαναλάβετε άλλες  $10^4$  φορές και εκτιμήστε το BER για το συγκεκριμένο  $\epsilon$ .
2. Επαναλάβετε το παραπάνω για  $\epsilon = 1/6, \epsilon = 1/8, \epsilon = 1/10, \epsilon = 1/20$  και σχεδιάστε το BER ως συνάρτηση του  $\epsilon$  σε λογαριθμική κλίμακα.
3. Σχολιάστε συνοπτικά τα αποτελέσματα, λαμβάνοντας υπόψη την χωρητικότητα του BSC.

Παραδώστε τις παραπάνω απαντήσεις, καθώς και τον κώδικα (π.χ. αρχείο Matlab ή Java).



Σχήμα 4: Διάγραμμα trellis για  $N = 4$  bits και  $(y_1, y_2, y_3, y_4, y_5, y_6, y_7) = (0, 0, 0, 1, 0, 0, 0)$  (Σχήμα από [4]).

## Βιβλιογραφία

- [1] J. G. Proakis, M. Salehi (Μετ. Καρούμπαλος, Ζέρβας, Καραμπογιάνης, Σαγκριώτης), Συστήματα Τηλεπικοινωνιών, Εκδόσεις ΕΚΠΑ, 2002.
- [2] <https://www.n2yo.com/satellite/?s=42731>
- [3] MIT 6.438 Algorithms for Inference, Fall 2014, lecture 9, available online at [opencourseware](https://ocw.mit.edu/courses/6-438-algorithms-for-inference/fall-2014/lecture-9/).
- [4] MIT 6.438 Algorithms for Inference, Fall 2014, lecture 11, available online at [opencourseware](https://ocw.mit.edu/courses/6-438-algorithms-for-inference/fall-2014/lecture-11/).